

モワレ法による平面構造物の解析

広島大学工学部 学生員。山根 勇雄
広島大学工学部 正員 大村 裕

I まえがき

モワレ法による構造物の応力解析は、多くの人々によって、それらの目的に応じ、種々の方法でこれまでいろいろと発表されています。昨年度の発表においては、面内荷重を受ける構造物模型の解析を目的として写真印刷用のコンタクトスクリーンを、模型物に密着させて得られたモワレフレンジを利用したが、今回は格子析法との平面構造物が横荷重を受ける場合の解析を目的として、模型表面を反射面とし、シリニター状のスクリーンに反射させ、変形前後の反射角の相違によって生じる二種類のクリップを二重露出により、同一フィルム上に撮りモワレフレンジを作り、解析するものである。得られたタウミ線から、曲げモーメント、せん断力はグラフ上で作図により求められる。

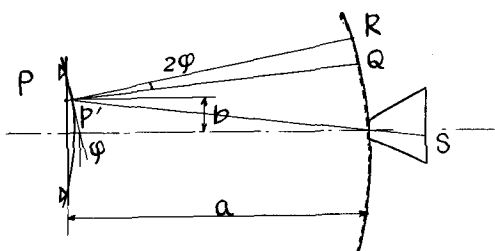


図-1

図-1において、無載荷の状態でスクリーン上の点Qを、点Pが反射しカメラフィルム上のSに写す。次に載荷後PがP'に移ってタウミ角が大きいために、P'は同じようにSに写ると考えても正確であり、載荷によって生じたタウミ角のため、スクリーン上のRが同じS上に写る。

タウミ角とQRの間に次のような関係

$$QR = 2\varphi a \left(1 + \frac{b^2}{a^2}\right)^{\frac{1}{2}}$$

が生じ、 φ が0度比べて小さければ、 $QR = 2a\varphi$

故にQRを知ればタウミの一次係数である φ を知ることができます。

一方、格子析法のようないわゆる平面構造物においては、次の様な関係がある。

軸がX軸方向

$$\begin{cases} \psi_x = \frac{\partial w}{\partial x} & M_x = EI_x \frac{\partial^3 w}{\partial x^3} \\ T_x = GI_{px} \frac{\partial^2 w}{\partial x^2} & Q_x = EI_x \frac{\partial^3 w}{\partial x^3} \end{cases}$$

軸がY軸方向

$$\begin{cases} \psi_y = \frac{\partial w}{\partial y} & M_y = EI_y \frac{\partial^3 w}{\partial y^3} \\ T_y = GI_{py} \frac{\partial^2 w}{\partial y^2} & Q_y = EI_y \frac{\partial^3 w}{\partial y^3} \end{cases}$$

EI ； 曲げこわさ GI ； ねじれこわさ

QRはモワレフレンジから知ることができるので、格子析法等の断面力をもとめることができる。

II 実験装置

1. 実験材料及び反射面の作成 本実験においては、模型物に良好な反射面を作ることが非常に重要である。従来は、黒色プラスチックや真鍮等を模型に使用していたが、反射が良好ではない。本実験では、光学において、最近よく利用されている真空蒸着法によつて非常に良い結果を得た。

これは真空容器内に、模型物とアルミニウム粉末を入れてアルミニウムを溶解させると、その蒸気は模型物に薄い液膜となって附着し反射面となるものである。この方法によると、電気の非伝導体にもメッキでき、から応用面は広い。装置内の温度は、高温ほど良好な反射面を得ることができるので、本実験で使用する模型は、比較的熱に強く、加工の容易なアクリライト板を使用した。板の厚さは10mmのものを使用した。

2.スクリーン Ljotenberg の文献によると、シリンダーの半径 $r = 3.5a$ にとどめると P の位置が光軸から $0.4a$ 以内にあれば、この誤差は 0.3% より小さい。今スクリーンのクリット開閉がわかっているとモワレプリングの性質から、隣接してプリング間でのタスキ角の変化は、クリット-開閉の変化となり $\Delta\varphi = d/za$ であるえられる。

そこで本実験では、 $r = 3.5a$ の半径をもつシリンダーの一部を作り、これにクリットラインを引く。クリットは正確な開閉でなく広い範囲に平行線を引かなければならぬから、以前利用してリカ 100本/inch

のコニタクトスクリーンを航空写真用の引伸し機で広げて、1m² のものを作った。この方法によると、任意の線間隔を得ることができ、精度もよい。この結果、本実験に使用した d , a の値はそれぞれ $d = 1.658\text{ mm}$, 2 mm $a = 60\text{ cm}$ である。

3.載荷 横方向から載荷するため、これを利用して載荷した。載荷後、5分間を経過して撮影をみこめた。

4.撮影装置 カメラは $f = 15\text{ cm}$ F 1:6.3 のジャバラ式カメラを使用し、フィルムには乾板式の硬調のものを使用した。写真 1 は実験装置を示す。

III 実験の解析

写真 2 に示す構造物模型の A-B 方向部材の曲げモーメント、ねじりモーメント、せん断力を決定する。

材料 アクリライト

$$I_x = I_y = 0.1083\text{ cm}^4$$

$$I_{ox} = I_{oy} = 0.2302\text{ cm}^4$$

α 実心集中荷重

$$P = 1.286\text{ kg}$$

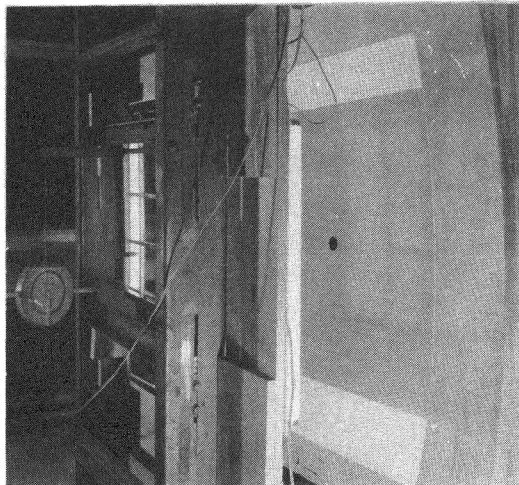
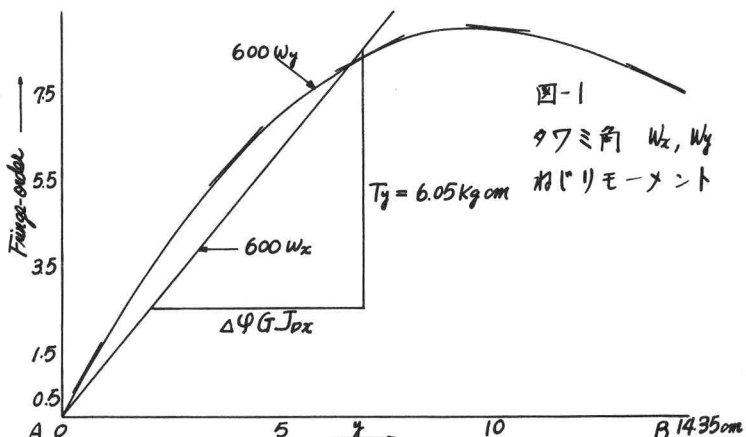


写真 1 実験装置



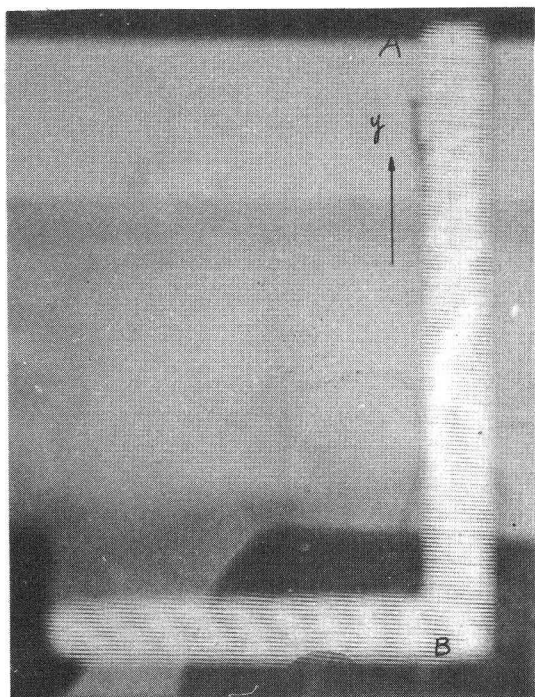
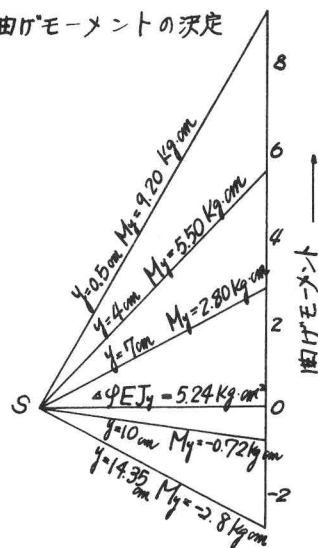
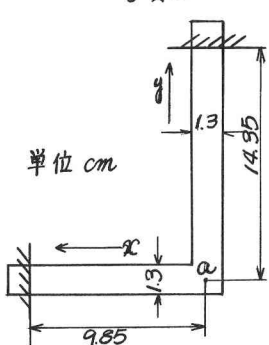


図-2 曲げモーメントの決定



写真乙



単位 cm

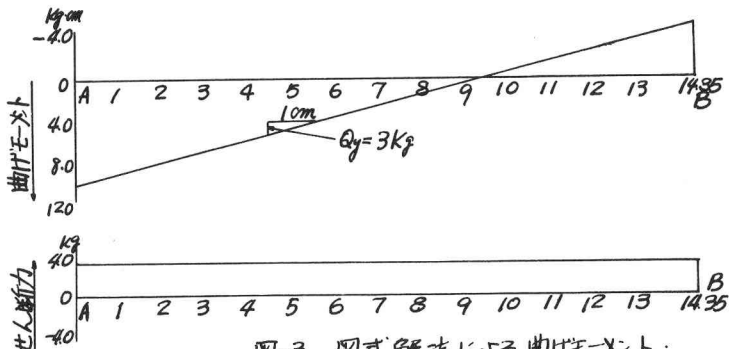


図-3 図式解法による曲げモーメント・せん断力図

IV. あとづき

今までの研究によって、この実験で重要な反射面の作成と、正確な隙間をもつクリットラインを得ることが出来たので、この方法による模型構造物の応力解析に十分な精度を期待することが出来る。我々の実験の目的は、不静定構造物である箱子形、斜板等の平面構造物の応力解析である。

今後、これらのデータを集めていきたい。